

N L P R



# Marker SLAM and FMD SLAM

吴毅红  
浙江大学，CCF视界无限，2019.3.31

# 提 纲

---

□ 引言

□ **Marker SLAM**

□ **FMD SLAM:** Fusing MVG and Direct Formulation

□ 未来工作及展望

# 引言

人工智能的热潮，机器人、AR、VR

SLAM的研究红红火火，热闹非凡

SLAM将各种学科、各种领域的人们凝聚起来：

- 几何与学习：Learning SLAM
- 图形学与视觉：AR、VR
- 机器人与视觉：激光、惯导、相机
- 硬件与软件：嵌入式SLAM
- 神经科学与工程科学：Brain-Inspired SLAM

SLAM

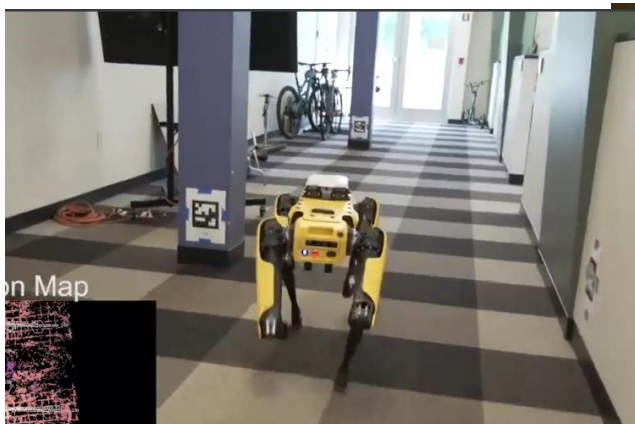
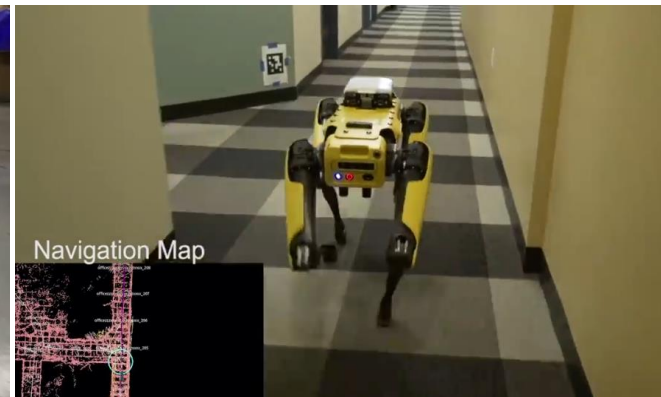


世界大同

# Marker SLAM

## 最简单、最成熟的SLAM

# Spotmini 视觉定位导航



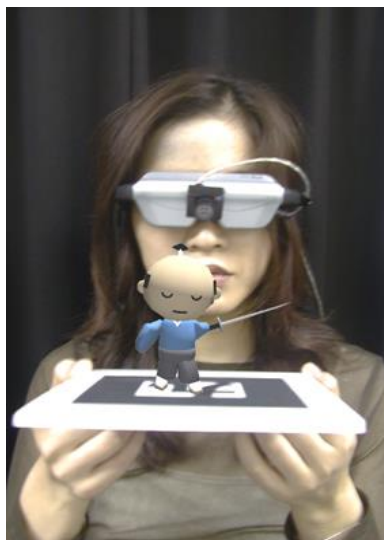
# Marker SLAM

为什么还要研究？

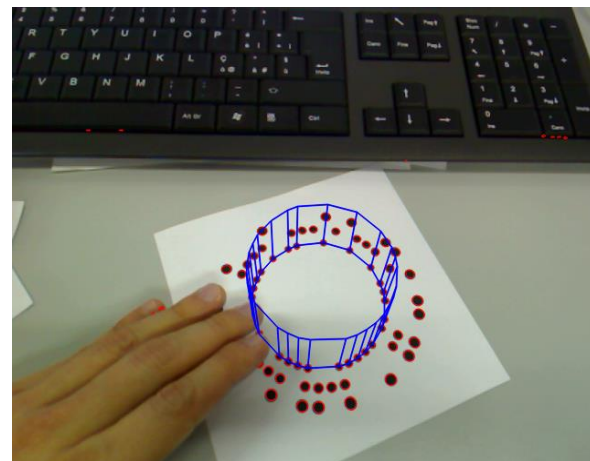
- 自主知识产权：二维码支付，中兴事件



**AprilTag**  
美国密歇根大学



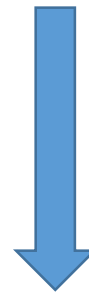
**ARToolKit**  
美国华盛顿大学



**RuneTAG**  
意大利威尼斯福斯卡里大学  
德国慕尼黑工业大学

- 存在问题:

快速运动抖动造成的模糊、距离较远、噪声较大



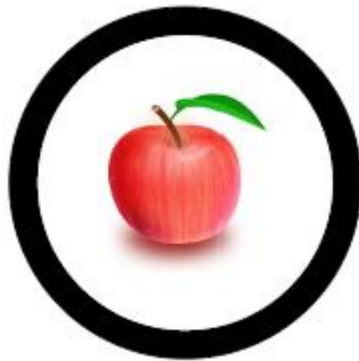
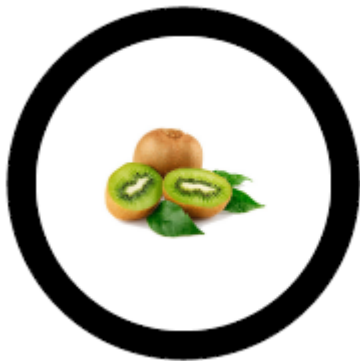
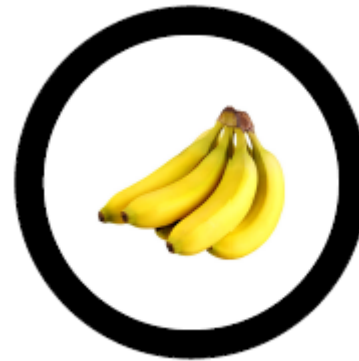
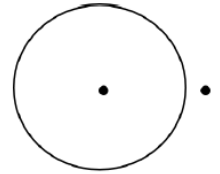
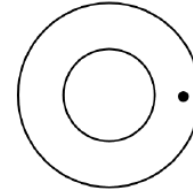
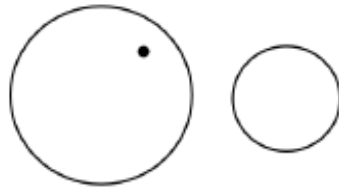
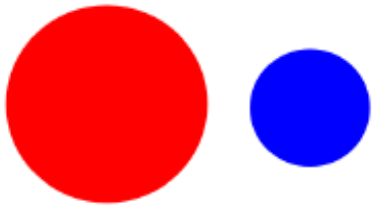
根本原因

点特征、PnP、RANSAC

RuneTag: PAMI2016

AprilTag: IROS2016, ICRA2019





..... id, library

高斯消元+RANSAC 二次曲线检测



解析精确的Polar-N-Direction点到二次曲线的几何  
距离 二次曲线拟合



相机内参数标定  
基于准放射不变性，无需匹配



6D 相机位姿跟踪  
解析+非线性几何优化，无需匹配





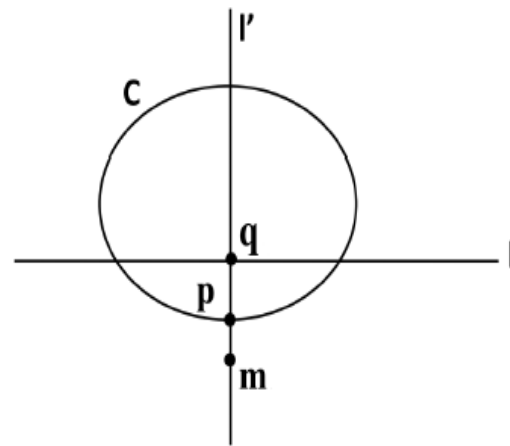
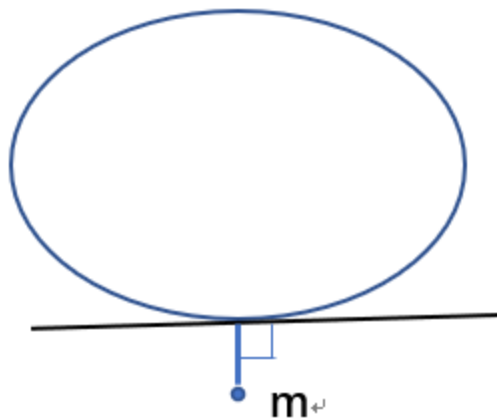
# 点到二次曲线的Polar-N-Direction几何距离

## 二次曲线拟合

1. 最小二乘线性代数拟合
2. 建立目标函数
3. 非线性优化

正交距离：每个点求解一个4次方程

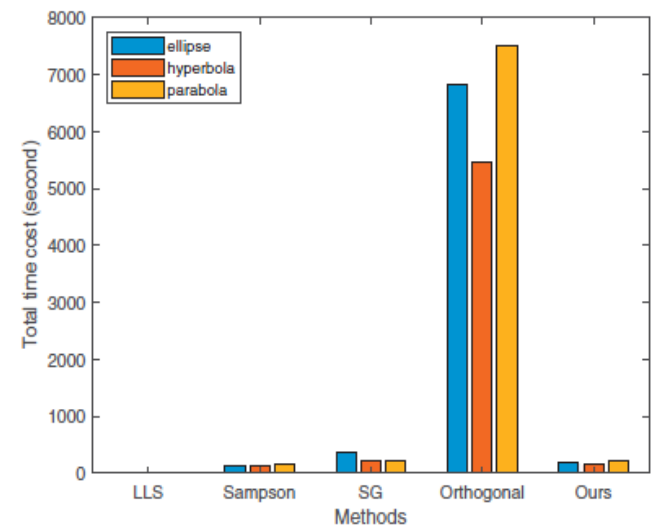
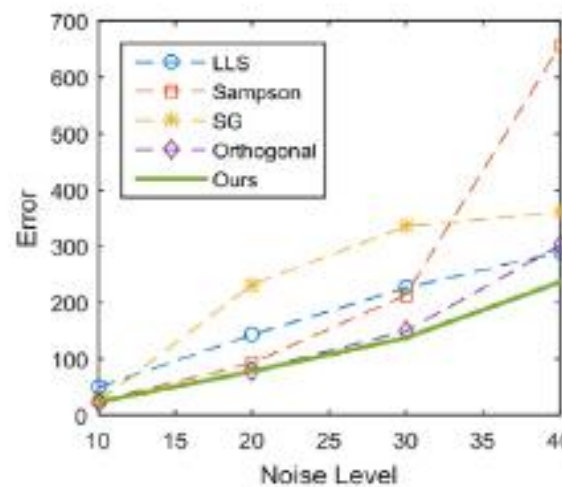
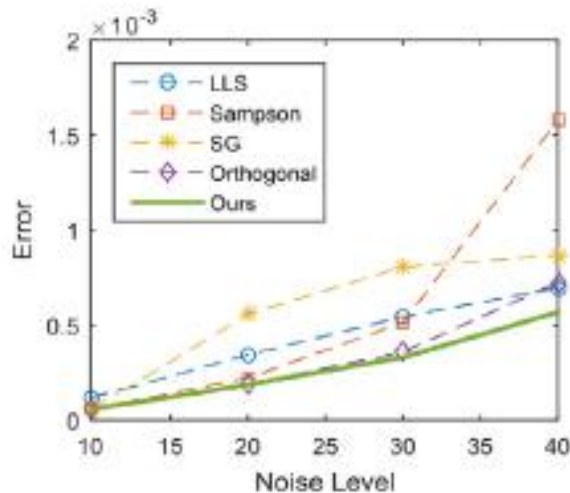
Sampson距离：解析、一阶泰勒级数近似



$$d^2(\mathbf{m}_i, \mathbf{C}) = \frac{(\mathbf{m}_i^T \mathbf{C} \mathbf{m}_i)^2}{(1 + \sqrt{\frac{(\mathbf{m}_i^T \mathbf{G} \mathbf{m}_i)^2 - (\mathbf{m}_i^T \mathbf{C} \mathbf{m}_i)(\mathbf{m}_i^T \mathbf{W} \mathbf{m}_i)}{(\mathbf{m}_i^T \mathbf{G} \mathbf{m}_i)^2}})^2 (\mathbf{m}_i^T \mathbf{G} \mathbf{m}_i)}$$

$$\sum_i d^2(\mathbf{m}_i, \mathbf{C}) + \sum_i d_{Sam}^2$$

$s.t. (\mathbf{m}_i^T \mathbf{G} \mathbf{m}_i)^2 > (\mathbf{m}_i^T \mathbf{C} \mathbf{m}_i)(\mathbf{m}_i^T \mathbf{W} \mathbf{m}_i)$   $s.t. (\mathbf{m}_i^T \mathbf{G} \mathbf{m}_i)^2 \leq (\mathbf{m}_i^T \mathbf{C} \mathbf{m}_i)(\mathbf{m}_i^T \mathbf{W} \mathbf{m}_i)$



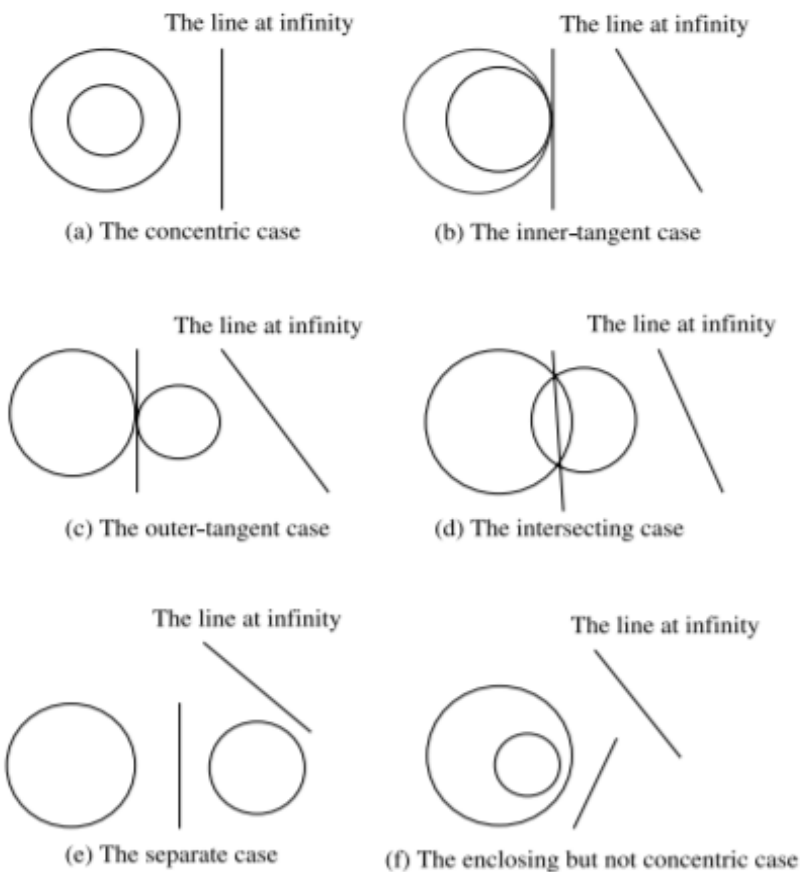
## 点到二次曲线的Polar-N-Direction几何距离

- 相比正交距离，解析无需求解方程组；
- 相比Sampson，更加精确；
- Polar N的方向更好地自适应射影变化

因此基于这种距离的二次曲线拟合优化，达到了精度、速度、鲁棒性兼顾的目的。

# 基于圆形marker的6D相机位姿跟踪

## 1. 6D自由度位姿解析表达



$$\mathbf{r}_1 = \frac{(\mathbf{m}_0 \times \mathbf{m}_1) \times \mathbf{l}_\infty}{\|(\mathbf{m}_0 \times \mathbf{m}_1) \times \mathbf{l}_\infty\|}$$

$$\mathbf{r}_3 = \pm \frac{1}{\sqrt{\mathbf{l}_\infty^T \mathbf{l}_\infty}} \mathbf{l}_\infty = s_3 \frac{1}{\sqrt{\mathbf{l}_\infty^T \mathbf{l}_\infty}} \mathbf{l}_\infty$$

$$\mathbf{r}_2 = \mathbf{r}_3 \times \mathbf{r}_1$$

$$\mathbf{t} = s_0 \mathbf{m}_0$$

## 2. 基于Polar-N-Direction几何距离的非线性优化

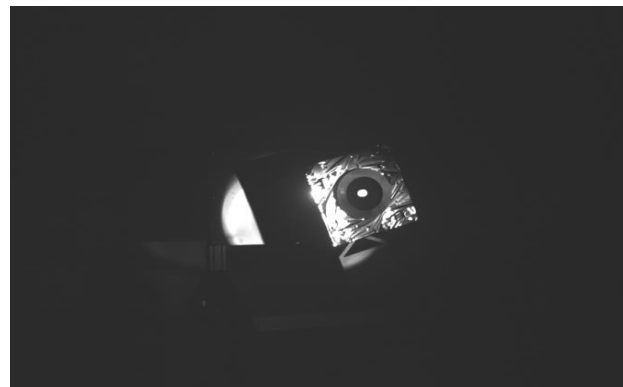
$$\sum d^2(p, C) = \sum_{\mathbf{y}} d_1^2(p, C) + \frac{1}{4} \sum_{\mathcal{N}} d_2^2(p, C),$$

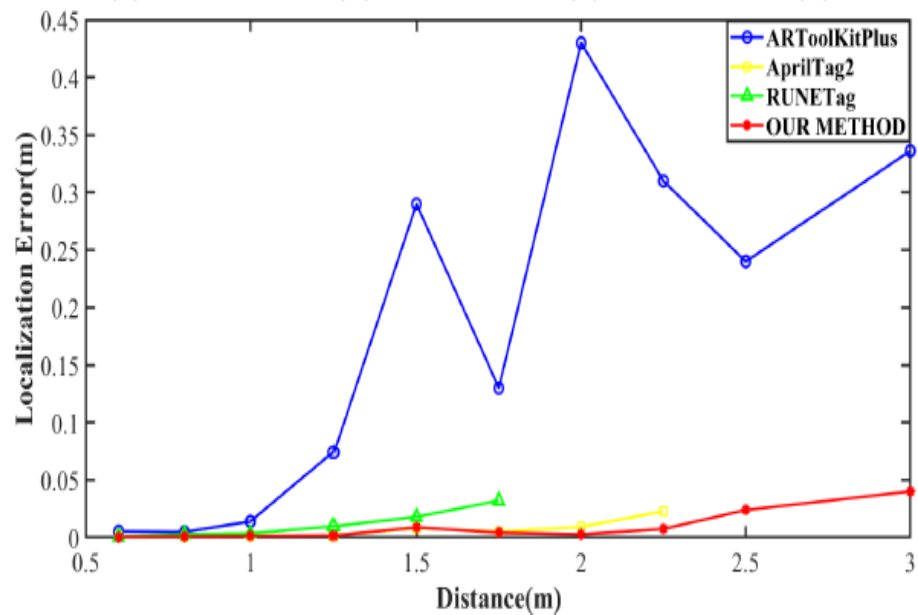
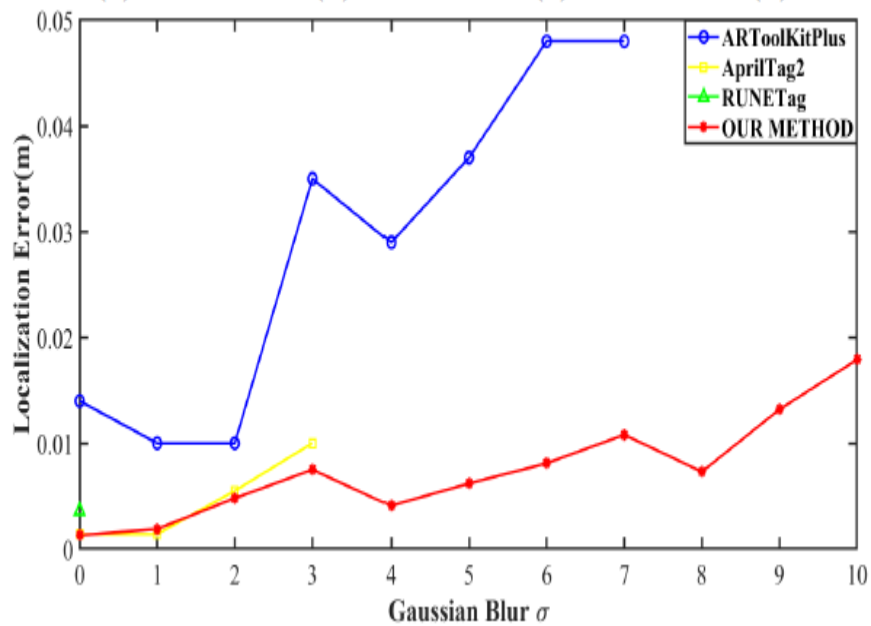
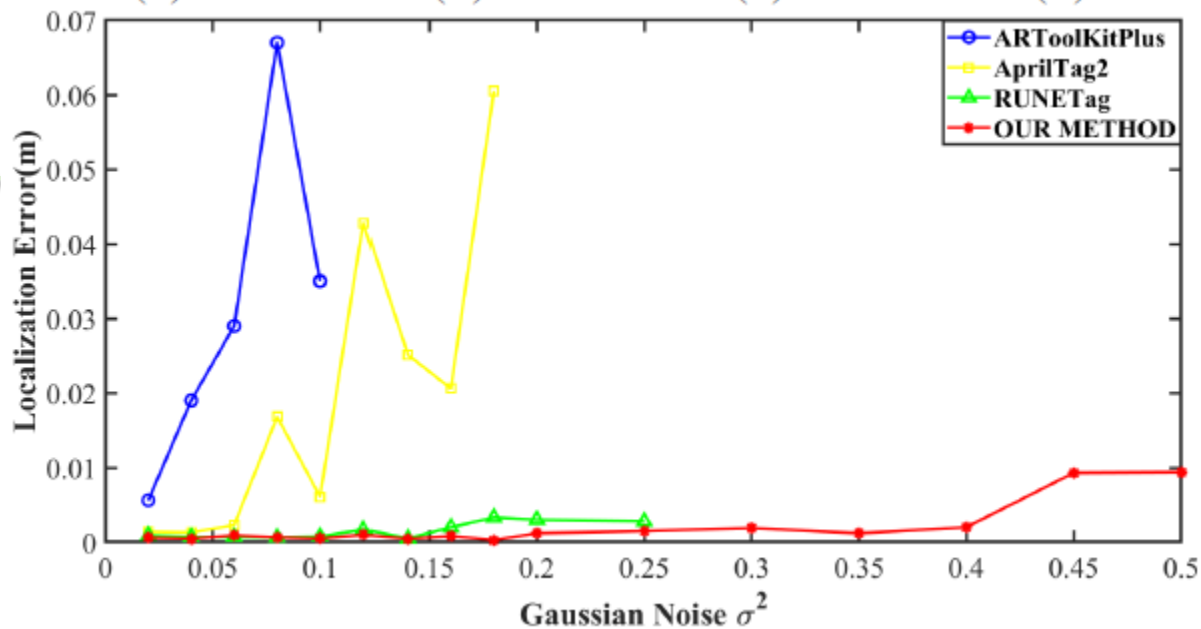
where

$$d_1^2(p, C) = \frac{(p^T C p)^2}{\left(1 + \sqrt{\frac{(p^T G p)^2 - (p^T C p)(p^T W p)}{(p^T G p)^2}}\right)^2 (p^T G p)},$$

$$d_2^2(p, C) = \frac{(p^T C p)^2}{p^T G p},$$

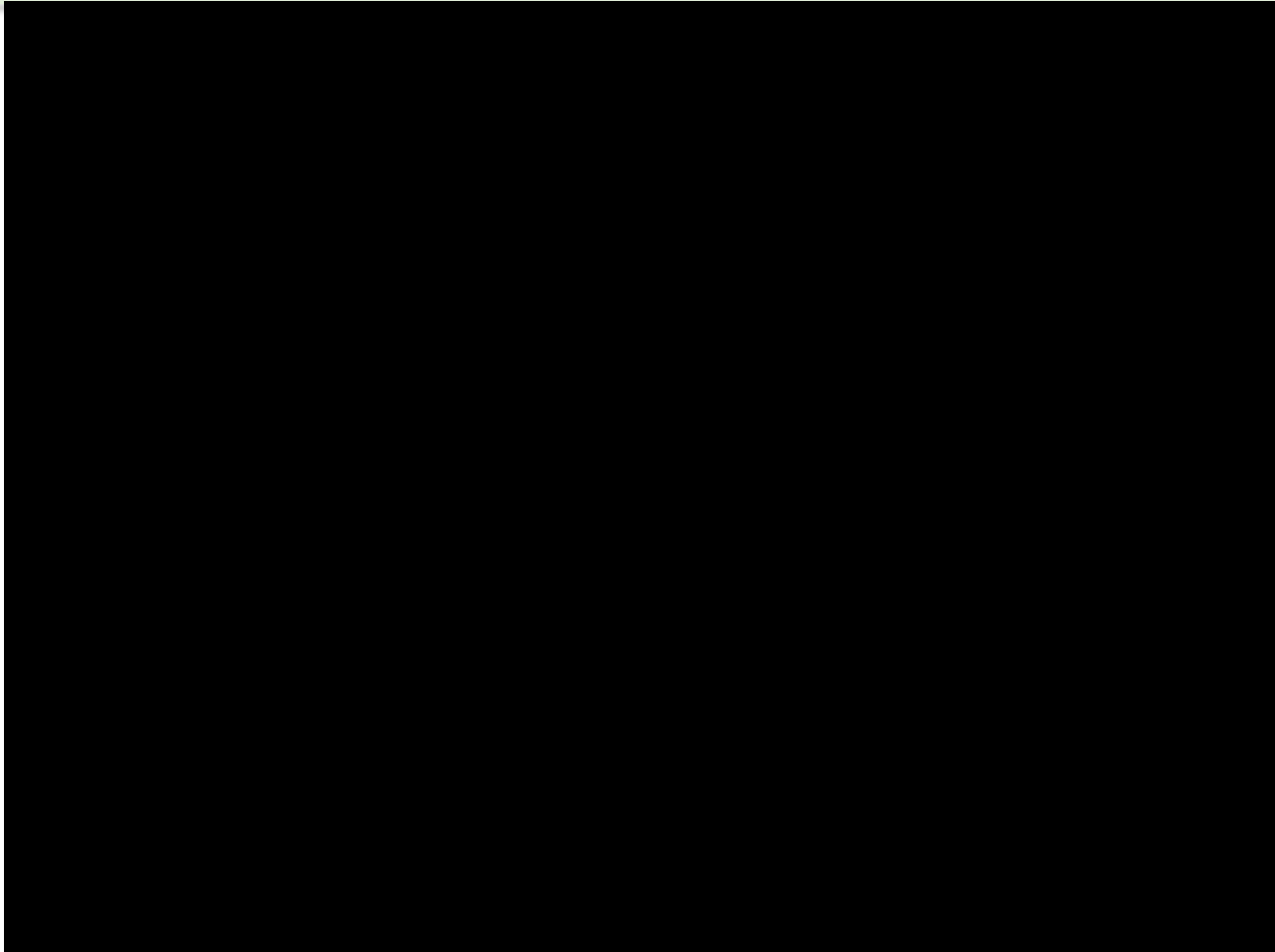
- 与环境自然和谐、侵入感不强烈
- 无需匹配，无PnP
- 基于一种解析几何距离的点二次曲线拟合与非线性优化：  
精度高、速度快
- 基于边缘：可鲁棒对抗快速运动、模糊、光线变化
- 适用范围广：机器人工件抓取； 导弹、飞船对接







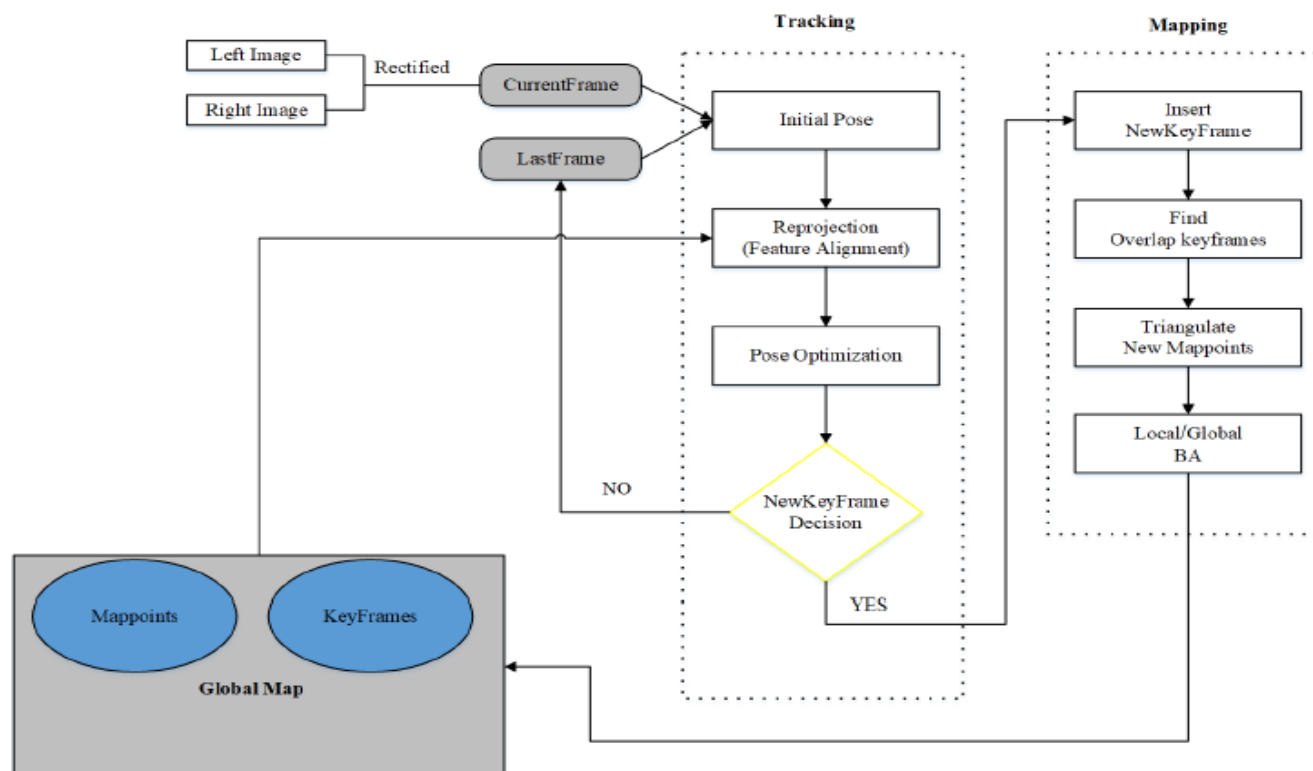
# AR demo



平均速度: 100 fps

# FMD SLAM

A novel framework fuses the advantages of direct and feature methods. Both accuracy and speed are considered.



## Front-end: direct formulation, faster

- Use constant motion model to predict a robust initial pose;

$$\mathbf{T}_{k,w} = \mathbf{T}_{k,k-1} * \mathbf{T}_{k-1,w}. \quad \mathbf{T}_{k,w} = \mathbf{T}_{k-1,w} * \mathbf{T}_{k-2,w}^{-1} * \mathbf{T}_{k-1,w}.$$

- Reproject local map to find 3D-2D correspondence;

$$\mathbf{x}'_i = \arg \min_{\mathbf{x}'_i} \frac{1}{2} \|I_k(\mathbf{x}'_i) - \mathbf{A}_i * I_r(\mathbf{x}_i)\|.$$

- Refine pose by the reprojection error minimization

$$\mathbf{T}_{k,w} = \arg \min_{\mathbf{T}_{k,w}} \frac{1}{2} \sum_i \|\mathbf{x}_i - \pi(\mathbf{T}_{k,w} * {}_w\mathbf{X})\|^2.$$

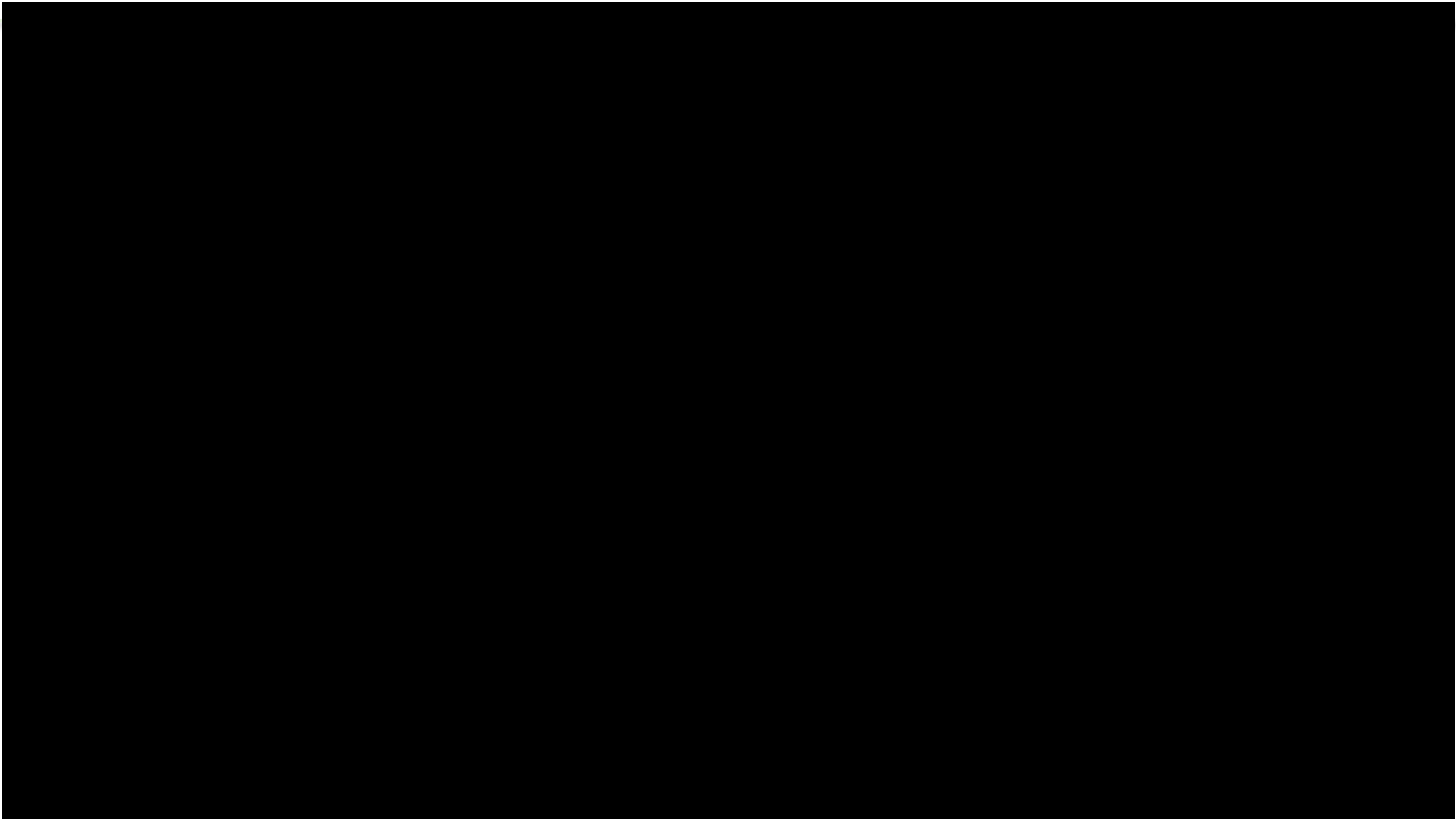
## Back-end: MVG, more accuracy

- When a new keyframe is inserted, new mappoints are generated by triangulating;
- Bad mappoints are removed and a global map is kept by bundle adjustment;
- Stereo constraint is performed to optimize the map.

$$\{ {}_w\mathbf{X}^i, \mathbf{T}_j | i \in P_l, j \in K_l \} = \arg \min_{ {}_w\mathbf{X}^i, \mathbf{T}_j } \sum_{j \in K_l} \sum_{i \in P_l} \rho(E(i, j)),$$

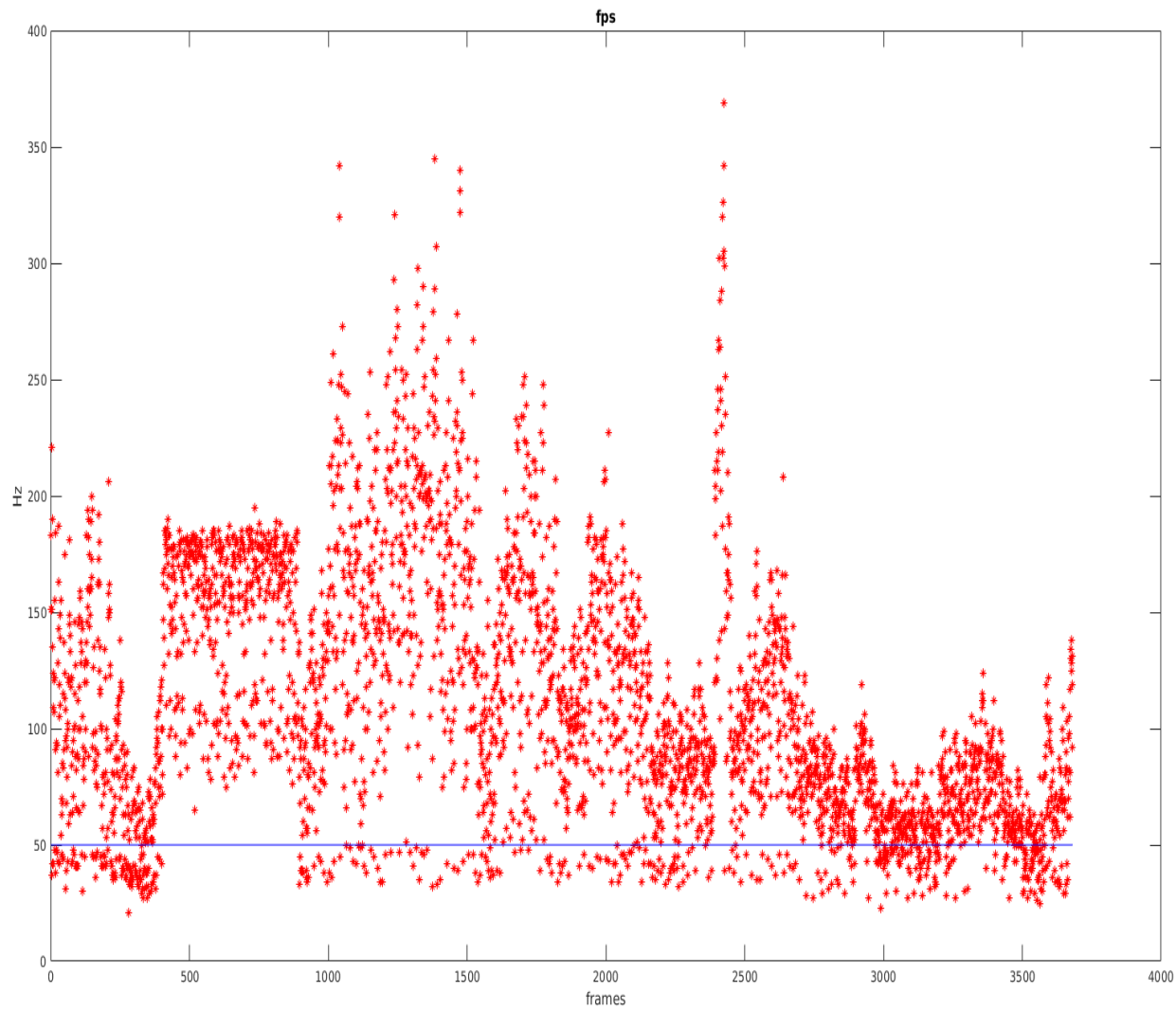
单目项  $\longrightarrow E(i, j) = \|x_m^i - \pi_m(\mathbf{T}_j * {}_w\mathbf{X}^i)\|^2,$

立体双目项  $\longrightarrow E(i, j) = \|x_s^i - \pi_s(\mathbf{T}_j * {}_w\mathbf{X}^i)\|^2,$



## Public dataset EuRoc

Sequence	Length /Duration	OURS	SVO stereo	ORBSLAM stereo without loop
MH_01_easy	80.6m/182s	<b>3.80</b>	8.00	4.03
MH_02_easy	73.5m/150s	<b>3.76</b>	8.00	4.16
MH_03_medium	130m/132s	5.36	29.00	<b>4.78</b>
MH_04_difficult	91.7m/99s	<b>9.20</b>	267.00	40.49
MH_05_difficult	97.6m/111s	<b>9.30</b>	43.00	10.27
V1_01_easy	58.6m/144s	8.72	<b>5.00</b>	8.85
V1_02_medium	75.9m/83.5s	20.11	<b>9.00</b>	9.75
V1_03_difficult	79.0m/105s	53.28	36.00	<b>16.44</b>
V2_01_easy	36.5m/112s	8.85	9.00	<b>6.21</b>
V2_02_medium	83.2m/115s	<b>7.67</b>	52.00	7.96
V2_03_difficult	86.1m/115s	X	X	X

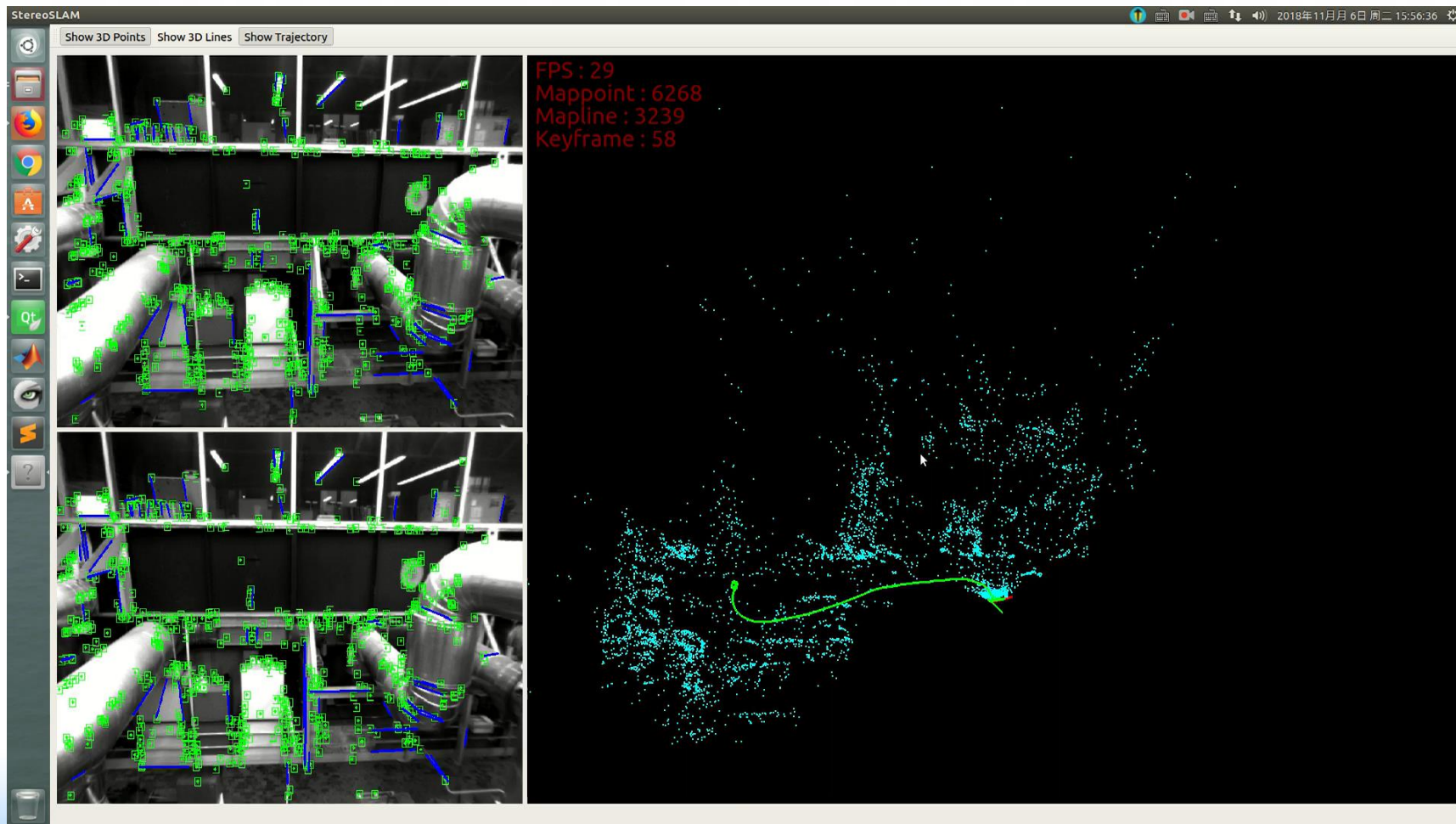


**Ours: 109 Hz**

**ORB SLAM:  
15 Hz**



# 点线融合SLAM



spring



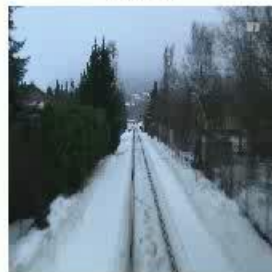
summer



fall



winter



# SLAM闭环检测地点识别

MobileNet+深度二值哈希  
连续帧训练

基于深度学习，  
室外不受季节影响  
室内不受光线影响

query: 118/3\_2.jpg database: 118/8\_2.jpg database: 119/6\_2.jpg



database: 118/6\_2.jpg database: 118/7\_1.jpg database: 119/3\_1.jpg



dataset	Our method	Alexnet features	SeqSLAM
Spring – Summer	0.927	0.93*	0.86*
Spring – Fall	0.957	0.93*	0.88*
Spring – Winter	0.953	0.75*	0.80*
Summer – winter	0.901	0.61*	0.64*
Fall – Winter	0.927	0.66*	0.63*

bits	CPU( optimization)	CPU(origin)	GPU
128	27 ms	78 ms	3 ms
256	27 ms	78 ms	3 ms
1024	27 ms	79 ms	3 ms
2048	28 ms	79 ms	2 ms
4096	29 ms	80 ms	3 ms
8192	30 ms	81 ms	2 ms

# 未来工作及展望

1. SLAM加速落地应用，解决应用中的痛点难题
  - 弱纹理、重复纹理下的特征提取与跟踪
  - 长时SLAM中的误差漂移问题
  - 复杂动态场景下的SLAM
2. 几何SLAM与Learning SLAM的深度融合
3. 多传感器深度融合SLAM
4. 嵌入式SLAM
5. 新型传感器下的SLAM
6. Brain-Inspired SLAM

# 参考文献和专利



- 吴毅红. 基于几何误差优化的图像中二次曲线拟合方法, 国际PCT, 申请号PCT/CN2016/103424, 申请日期2016-8-31.
- Yihong Wu, Haoren Wang, and Fulin Tang. Efficient Conic Fitting with a Polar-N-Direction Geometric Distance. *Pattern Recognition*, 2019.
- Fulin Tang and Yihong Wu. Circular marker SLAM without PnP. 投稿中.
- 吴毅红, 雷娟. 一种基于平面混合标识物的移动增强现实方法, 发明专利, 授权号Zl201510547761.3, 授权日期2017-10-03.
- 吴毅红. 轻量级实时在线视觉定位圆形marker设计及方法, 申请号201810118800.1, 申请日期2018-2-6.
- Fulin Tang, Heping Li, Yihong Wu. FMD Stereo SLAM: Fusing MVG and Direct Formulation Towards Accurate and Fast Stereo SLAM, ICRA, 2019.
- Lang Wu and Yihong Wu. Similarity Hierarchy Based Place Recognition by Deep Supervised Hashing for SLAM. 投稿中.

N L P R



谢 谢